

بررسی و مقایسه فرمت رستری و برداری عامل هواشناسی در روش MPSIAC و EPM با استفاده از تکنیک GIS (مطالعه موردي: حوزه آبخیز آزادرود نشتارود)

فرشاد میردار هریجانی^{*}، محمدرضا جوادی^۲، زهرا چترسیماب^۳، مریم محمد ابراهیمی^۴

تاریخ دریافت: ۹۱/۷/۲۹ تاریخ پذیرش: ۹۲/۵/۲۰

چکیده :

فرسایش و رسوب‌زایی هر منطقه تا حد زیادی وابسته به اقلیم و آب و هوای آن می‌باشد، زیرا آب و هوا علاوه بر تاثیر بر روی پدیده خاک‌زایی بر وضعیت پوشش گیاهی نیز تاثیر دارد. از طرفی در محیط نرم‌افزاری، سیستم اطلاعات جغرافیایی دو نوع فرمت نقشه (برداری- رستری) وجود دارد و با توجه به نوع نقشه، بایستی از فرمت صحیح برای تولید نقشه استفاده گردد تا در زمانی که از این نقشه‌ها جهت آنالیز نهایی استفاده می‌شود دقت کار محقق افزایش یابد. در این تحقیق عامل هواشناسی با دو روش MPSIAC و EPM با هر دو فرمت (برداری و رستری) در حوزه آبخیز نشتارود بدست آمده و در محاسبات به کار گرفته شده است. نتایج نشان داد با توجه به اینکه داده‌های هواشناسی از نوع داده‌های وابسته می‌باشد تهیه آنها از طریق ساختار رستری منجر به ایجاد خطای کمتری نسبت به ساختار برداری در آنالیز نهایی داده‌ها شده است (باتوجه به اینکه زمانیکه از فرمت برداری استفاده می‌شود محقق مجبور می‌شود که یک متوسط وزنی برای واحدهای کاری در نظر بگیرد در حالیکه این واحد کاری میتواند دارای شرایط متفاوتی از نظر امتیاز هواشناسی باشد که ازبین رفتن این اختلافات باعث پیش‌بینی ناصحیح میزان فرسایش در حوزه‌های آبخیز می‌شود). که این امر متعاقبا درصد خطای کمتری را در ارتباط با برآورد مقدار فرسایش و رسوب ویژه در برخواهد داشت. همچنین میزان این تفاوت در روش MPSIAC و EPM در زیر حوزه‌های A₁₋₁₋₄₋₁, A₁₋₁₋₅, A₁₋₁₋₆₋₁, A₁₋₁₋₆₋₂, A₁₋₁₋₇₋₁ و A₁₋₁₋₇₋₂ حوزه آبخیز آزادرود مشاهده شده است. در این زیر حوزه‌های بیان شده امتیاز عامل آب هوا در حدود ۲ الی ۳,۵ امتیاز متفاوت می‌باشد و در کل حوزه این اختلاف در حدود ۵,۰ امتیاز می‌باشد. که این نتایج برای ارائه روش‌های کنترل فرسایش می‌تواند موثر باشد.

واژه‌های کلیدی: حوزه آبخیز آزادرود، روش‌های EPM، MPSIAC و سامانه‌های اطلاعات جغرافیایی، ساختار برداری و رستری، میزان فرسایش و رسوب.

^۱- کارشناسی ارشد آبخیزداری، سازمان جنگلهای، مراتع و آبخیزداری کشور

*نویسنده مسئول: Email: Harijani.mirdar@yahoo.com

^۲- استادیار گروه منابع طبیعی دانشگاه آزاد اسلامی واحد نور، نور، ایران

^۳- کارشناسی ارشد خاکشناسی، سازمان جنگلهای، مراتع و آبخیزداری کشور

^۴- دانشجوی کارشناسی ارشد آبخیزداری، دانشگاه آزاد اسلامی واحد نور.

اولیه و اینکه با توجه به نوع داده‌ها از چه فرمتی تهیه شوند در دقت نقشه‌های خروجی و تجزیه و تحلیل‌های نهایی بسیار اهمیت دارد. مدل برداری برای نمایش عوارض ناپیوسته بسیار مفید است ولی برای نمایش عوارض پیوسته از جمله بارش، شب، ارتفاع و شدت فرسایش و ... که مدام در فضای جغرافیایی تغییر می‌نمایند، مناسب نمی‌باشند. بنابراین مدل رستری داده‌ها برای نمایش عوارض پیوسته مناسب است. لذا در انجام این تحقیق با استفاده از سیستم اطلاعات جغرافیایی می‌توان تعیین عامل سوم (عامل هوشناسی) موثر در روش MPSIAC و تعیین ضریب حرارتی در روش EPM با فرمت رستری و استفاده از منوی قوی Spatial Analyse برای محاسبات داده‌های رستری را به عنوان هدف اصلی مطرح نمود.

Niknami (2001) در مقاله خود تحت عنوان برآورد رسوب‌دهی به کمک SPANS-GIS به این نکته اشاره می‌کند که SPANS به دلیل استفاده از روش Quadtree (روشی که در آن اطلاعات به صورت رستری و با استفاده از سلولهایی متغیر از نظر ابعاد طبقه‌بندی شده و سلولهای دارای ارزش یکسان در مربعات بزرگتر با حفظ همان ارزش ذخیره می‌گردند) در ساختمان اطلاعاتی خود موجب به حداقل رساندن فضایی شود (۱۱).

مقدمه:

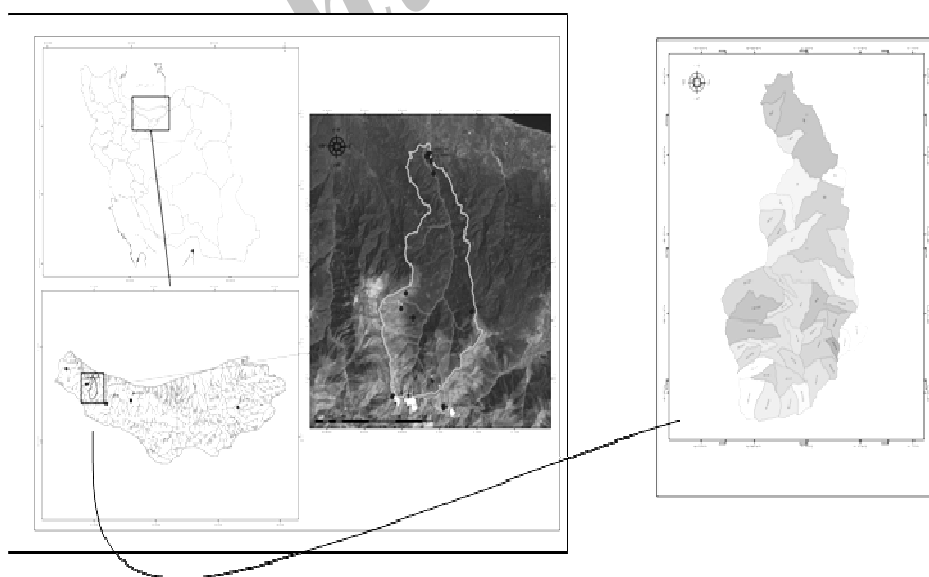
تخرب ناشی از فرسایش آبی یک مشکل جدی و اساسی در کاهش کیفیت خاک، زمین و منابع آبی محسوب شده که بشر جهت معاش بیش از هر چیزی به آن وابسته است (۷). Pimental *et al.*, (۱۹۹۵) هزینه‌های جهانی فرسایش خاک را حدود ۴۰۰ بیلیارد دلار در سال برآورد کرده اند که مبلغی بیش از ۷۰ دلار به ازای هر فرد در سال می‌باشد (۱۲). علیرغم مقدار پیش‌بینی شده دو میلیون متر مکعبی رسوب سالانه ورودی به سد سفیدرود، حجم سالانه رسوب آن در حدود ۳۸ میلیون متر مکعب می‌باشد (۴). برنامه توسعه سازمان ملل فرسایش خاک در ایران را در حال حاضر نزدیک به ۲۰ تن در هکتار تخمین زده است که نسبت به ۱۰ سال گذشته ۱۰ تن در هکتار افزایش یافته است (۱۴).

سامانه اطلاعات جغرافیایی عبارت است از یک نظام منسجم از سخت افزار، نرم افزار و داده‌ها که امکان می‌دهد داده‌های وارد شده به رایانه، ذخیره، تجزیه و تحلیل، انتقال، ارزیابی و بازیابی شده و به صورت اطلاعات گرافیکی (نقشه)، توصیفی (جدول) و همچنین بصورت یک مدل از پهنه‌های جغرافیایی منتشر شوند (۶، ۳، ۹). همچنین از طرفی باعث بالا رفتن دقت کار و کاهش خطای برآورد و محاسبات مربوط به فرسایش و رسوب می‌شوند. در این سیستم داده‌ها با دو نوع فرمت برداری و رستری تهیه می‌شوند که تهیه لایه‌های

که تحت حوزه آبخیز رودخانه های سفید رود و هزار، تحت واحدهای هیدرولوژیک غرب مازندران از صفا رود تا حد شرقی حوزه آبریز رودخانه چالوس و حوزه رودخانه های بین آزارود و سرداب رود و در نهایت در محدوده آبریز رودخانه های بین آزاد رود و کاظم رود با نام اختصاری نشتارود قرار می گیرد. حوزه آبخیز مورد مطالعه به ۴۱ زیر حوزه تقسیم گردید شکل (۲). حوزه آبخیز مورد نظر دارای اقلیم سرد مرطوب، دمای متوسط ۹ درجه سانتیگراد و متوسط بارندگی سالانه ۸۴۸ میلیمتر می باشد. شب متوسط وزنی حوضه ۳۰/۲۹ درصد و ارتفاع متوسط آن ۱۸۷۰ متر است. شکل (۱) موقعیت منطقه مورد مطالعه در ایران و مازندران و نقشه (۱) تصویر ماهواره ای حوضه را نشان می دهد.

مواد و روش‌ها:

موقعیت جغرافیایی و ویژگی‌های عمومی منطقه مورد مطالعه: قلمرو مطالعاتی، منطقه‌ای کوهستانی در شمال کشور، با وسعتی برابر با ۲۲۸۸۵/۸ هکتار و در محدوده‌ای با مختصات جغرافیایی^{۱۹°۵۴'۵۰''} تا^{۱۸°۰۴'۵۱''} طول شرقی و^{۴۴°۴۲'۳۶''} تا^{۴۴°۲۶'۲۶''} عرض شمالی در محدوده تقسیمات سیاسی استان مازندران قرار گرفته است و فاصله تقریبی آن از شهر نشتارود حدود ۱۲ کیلومتر می باشد. بلندترین نقطه منطقه مطالعاتی با ارتفاع ۴۳۸۰ متر در بخش جنوبی و پستترین نقطه آن در بخش شمالی حوضه با ارتفاع ۹۰/۲ متر می باشد. از نقطه نظر تقسیمات هیدرولوژی کل کشور، حوزه آبخیز آزاد رود جزء حوزه آبریز دریای خزر می باشد



شکل ۱- موقعیت منطقه در ایران و استان مازندران

بازگشت ۲ ساله محاسبه شود. برای این منظور در محیط نرم افزاری HYFA مناسب ترین توزیع آماری انتخاب و مقادیر حداکثر بارش های ۲۴ ساعته با دوره بازگشت ۲ ساله تعیین گردید. آنگاه جهت تعیین حداکثر بارش های ۲۴ ساعته ایستگاههای منطقه به محدوده مورد مطالعه، مبادرت به برآورد معادله گرادیان حداکثر بارش ۲۴ ساعته با ارتفاع گردید (۱۰) معادله (۲) و معادله (۳). در نهایت با استفاده از بارندگی های ۲۴ ساعته با دوره بازگشت ۲ سال، از طریق تقسیم این اعداد بر عدد $1/48$ ، میزان بارندگی ۶ ساعته با دوره بازگشت ۲ سال به دست آمد (۸).

$$\text{معادله (۲)} = -0.030 H + 10.69$$

$$\text{برای ارتفاع کمتر از } 2400 \text{ متر} \quad P_{24(2)dmax}$$

$$\text{معادله (۳)} = 0.001 H + 29.94$$

$$\text{برای ارتفاع بیش از } 2400 \text{ متر} \quad P_{24(2)dmax}$$

که در آن:

H = حداکثر باندگی ۲۴ ساعته با دوره بازگشت ۲ ساله (میلیمتر)

= ارتفاع منطقه بر حسب متر (که از روی نقشه DEM بدست می آید)

(هر دورابطه در سطح اعتماد ۱٪ معنی دار می باشند)

بدین منظور براساس معادله های (۲) و (۳) نیاز به تهیه نقشه طبقات رقومی ارتفاعی و نقشه همباران منطقه می باشد که مراحل تهیه آن به شرح زیر می باشد:

روش تحقیق:

فرسایش و رسوب‌زایی هر منطقه تا حد زیادی وابسته به اقلیم و آب و هوای منطقه می باشد، زیرا آب و هوا علاوه بر تاثیر بر روی پدیده خاکزایی بر روی وضعیت پوشش گیاهی نیز تاثیر دارد (۸). از عناصر تشکیل دهنده آب و هوایی که بر روی فرسایش تاثیر دارند نزولات آسمانی و درجه حرارت می باشد (۱۳). در این تحقیق عامل آب و هوای در دو مدل EPM و MPSIAC به روش رستری و با استفاده از قابلیت‌های نرم‌افزار ArcGIS Var9.2 مورد بررسی و آنالیز قرار گرفت که مراحل کار به شرح زیر بوده است:

۱- تعیین عامل آب و هوای در روش MPSIAC

بنمنظور تعیین این پارامتر (Y_3) از رابطه زیر استفاده می شود:

$$\text{معادله (۱)} \quad Y_3 = 0.2 X_3$$

که در آن X_3 شاخص مقدار بارندگی ۶ ساعته با دوره بازگشت ۲ سال بر حسب میلی‌متر است (۱۳).

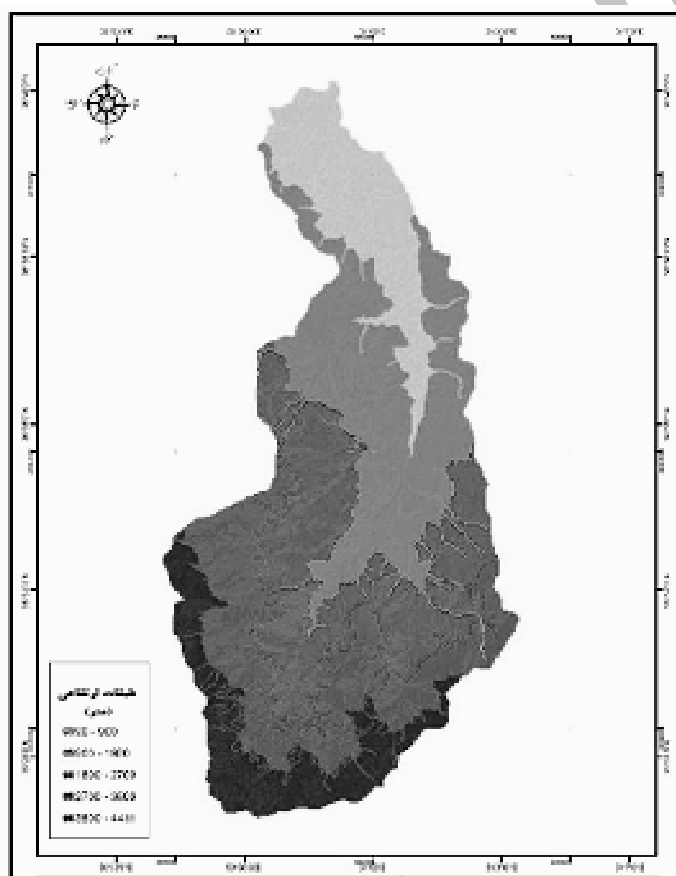
در حوزه آبخیز آزادرود از آمار ۲۵ ایستگاه هواشناسی وابسته به وزارت نیرو و ۱۱ ایستگاه هواشناسی وابسته به سازمان هواشناسی استفاده شده است. که از این تعداد ۷ ایستگاه از نوع تبخیر سنگی، ۳ ایستگاه سینوپتیک و یک ایستگاه کلیماتولوژی و مابقی ایستگاه باران سنگی می باشد.

همانطور که در معادله (۱) مشاهده گردید بایستی شاخص بارندگی ۶ ساعته با دوره

دوره بازگشت ۲ ساله دارد(۵)، در این تحقیق از نقشه های توپوگرافی ۱:۲۵۰۰۰ منطقه استفاده شده است. در ابتدا نقشه های توپوگرافی تصحیح و سپس از روی آن و با استفاده از عوارض زمین (آبراهه، دریاچه، راه و ...) نقشه طبقات ارتفاعی با اندازه سلولی ۳۰ متر در فرمت سلولی(Raster) تهیه شد (شکل ۳) که نتایج آن در جدول (۱) آورده شده است.

الف- تهیه نقشه طبقات رقومی ارتفاعی

نقشه طبقات رقومی ارتفاعی آرایش منظمی از نقاط ارتفاعی است. منابع تولید DEM، شامل تصاویر ماهواره ای، داده های راداری و نیز داده های LIDAR (ثبت مسافت ها به وسیله نور لیزر) و نقشه های توپوگرافی است. با توجه به اینکه کیفیت DEM تاثیر مهمی بر درستی و صحت ابعاد و مقادیر نقشه های همبازان و درنتیجه نقشه حداکثر بارندگی ۲۴ ساعته با



شکل ۳- طبقات رقومی ارتفاعی

ایستگاههای نزدیک به منطقه، مورد بررسی قرار گرفت و معادلات ۴ و ۵ از آنالیز آنها استخراج گردید (۱۰).

ب- تهیه نقشه همبازان منطقه مورد مطالعه: به منظور تهیه نقشه همبازان آمار بارش متوسط سالانه، ایستگاههای منطقه و توزیع زمانی بارش متوسط ماهانه

(رابطه اول در سطح اعتماد ۱٪ و رابطه دوم در سطح اعتماد ۵٪ معنی دار است). سپس با استفاده از معادلات ۴ و ۵ در Raster GIS و با استفاده از دستور calculator نقشه همباران (شکل شماره ۴) منطقه بر اساس معادله ۶ تهیه گردید(۱) که اطلاعات آن نیز در جدول(۱) آورده شده است.

$$R = \text{Con} (\text{DEM} \leq 2400, ((-0.325 \times \text{DEM}) + 1412), ((0.138 \times \text{DEM}) + 268/4) \quad (6)$$

$$\text{معادله (۴)} \quad P = -0.325H + 1412$$

جهت ارتفاع کمتر از ۲۴۰۰ متر

$$\text{معادله (۵)} \quad p = 0.138H + 268/4$$

جهت ارتفاع بیش از ۲۴۰۰ متر

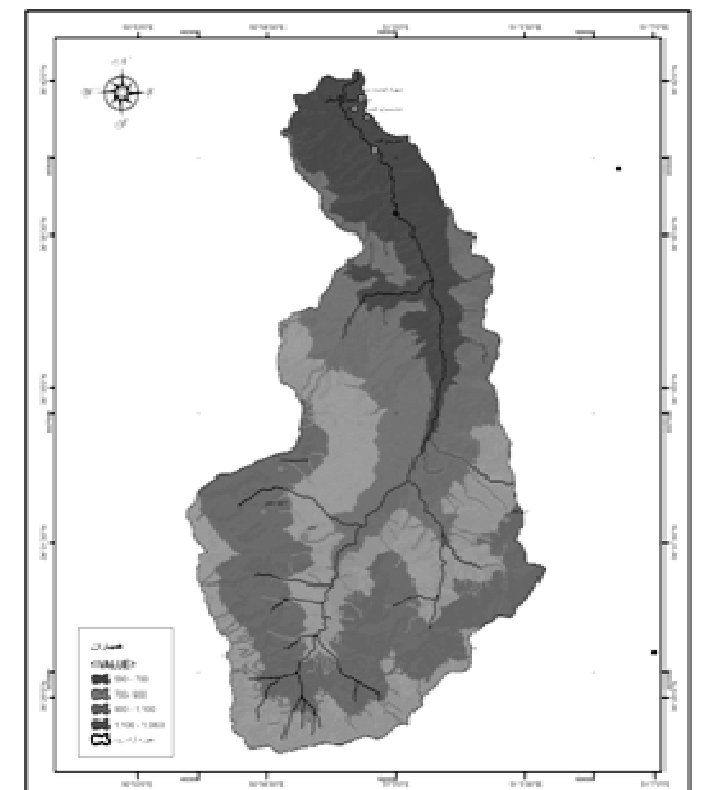
که در آن:

P = متوسط بارندگی سالانه

H = ارتفاع منطقه مورد مطالعه بر حسب

متر (که از روی نقشه DEM بدست می

آید)



شکل ۴- نقشه همباران منطقه

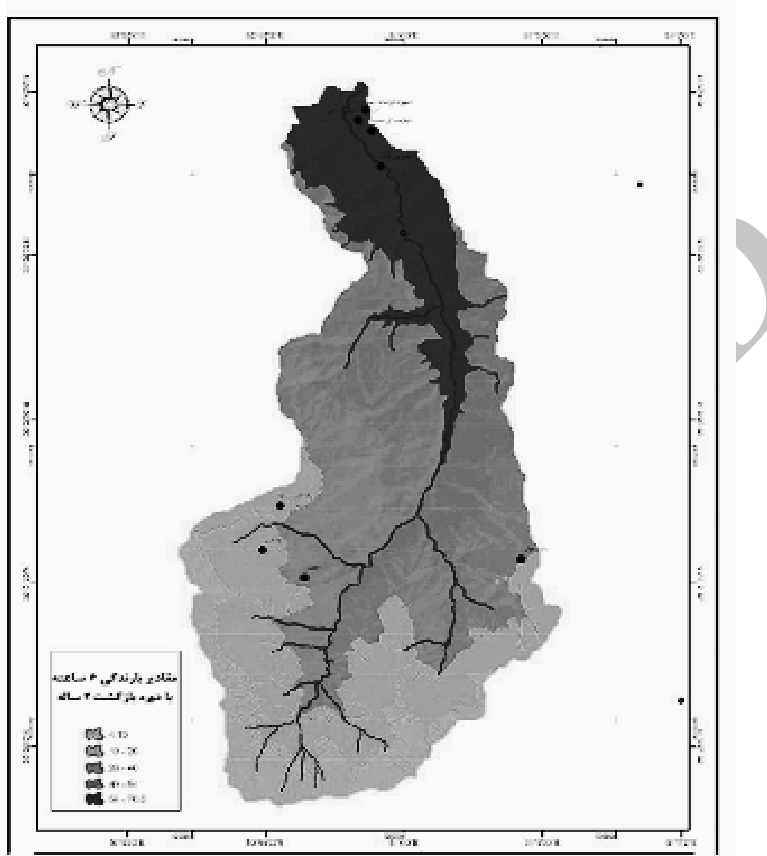
نقشه های همباران و طبقات رقومی ارتفاعی نقشه حداقل باندگی ۲۴ ساعته با دوره بازگشت ۲ ساله (میلیمتر) تهیه گردید (۱). در نهایت با استفاده از بارندگی های ۲۴ ساعته با دوره بازگشت ۲ سال، از

ج- تهیه نقشه بارندگی ۶ ساعته با دوره بازگشت ۲ ساله:

نقشه بارندگی ۶ ساعته با دوره بازگشت ۲ ساله (شکل ۵) حوزه مورد مطالعه در محیط GIS ابتدا با استفاده از معادله (۷) و

$$P^r_2 = \text{con}(\text{dem} \leq 2400, ((-0.030 \times \text{dem}) + 106.9), ((0.001 \times \text{dem})) + 29.94$$

طریق تقسیم این اعداد بر عدد ۱/۴۸، میزان بارندگی ۶ ساعته با دوره بازگشت ۲ سال به دست آمد که اطلاعات آن در جدول (۱) آورده شده است. معادله (۷)



شکل ۵- مقادیر بارندگی ۶ ساعته با دوره بازگشت ۲ ساله

جدول ۱- اطلاعات به دست آمده از نقشه‌های پایه برای اساس روش MPSIAC

زیر حوزه	ارتفاع حداقل(متر)	ارتفاع حداکثر(متر)	ارتفاع متوسط(متر)	بارندگی ۶ ساعته با دوره بازگشت ۲ ساله (میلیمتر)	بارندگی ۶ ساعته با دوره بازگشت ۲ ساله
A ₁	۸۹۴	۲۴۲۹/۷	۱۵۶۸/۱	۹۰۲/۳۷	۴۰/۴۴
A ₁₋₁	۱۰۴۰	۲۷۳۴	۱۷۳۸/۹	۸۴۶/۸۶	۳۶/۹۸
A ₁₋₁₋₁	۱۱۸۰	۲۵۴۰	۱۹۸۶/۷	۷۶۶/۳۲	۳۱/۹۶
A _{1-1-۲}	۱۲۶۹/۳	۲۳۸۰	۱۶۶۵/۵	۸۷۰/۷۱	۳۸/۴۷
A _{1-1-۲-۱}	۱۴۴۰	۳۵۲۰	۲۵۲۱/۴	۶۱۷/۷۳	۲۱/۹۴
A _{1-1-۲-۲}	۱۴۵۰	۳۵۳۷/۸	۲۵۰۷/۸	۶۱۴/۴۸	۲۱/۴
A _{1-1-۳}	۱۵۵۰	۳۶۰۰	۲۶۵۷/۸	۶۳۵/۱۸	۱۸/۳۶
A _{1-1-۴}	۱۶۶۰	۲۷۳۲/۳	۲۲۰۵/۳	۶۹۵/۲۸	۲۷/۵۳
A _{1-1-۴-۱}	۲۱۰۰	۳۷۰۷/۱	۲۹۷۲/۹	۶۷۸/۶۶	۱۱/۹۷
A _{1-1-۴-۲}	۲۱۰۰	۳۸۴۰/۹	۲۸۸۲/۲	۶۶۶/۱۴	۱۳/۸۱
A _{1-1-۵}	۱۹۰۰	۳۹۲۰	۲۸۳۹/۶	۶۶۰/۲۶	۱۴/۶۷

A _{۱-۱-۶}	۱۹۱۲/۱	۳۲۲۰/۱	۲۴۰۰/۷	۵۹۹/۷	۲۳/۵۷
A _{۱-۱-۶-۱}	۲۲۴۵	۴۳۸۰	۲۴۲۵/۱	۷۴۱/۰۶	۲/۸
A _{۱-۱-۶-۲}	۲۲۸۰	۴۳۷۰/۱	۳۳۵۵/۸	۷۳۱/۵	۴/۲۱
A _{۱-۱-۷}	۱۹۲۰	۳۲۱۶/۲	۲۵۷۰/۶	۶۲۳/۱۴	۲۰/۱۲
A _{۱-۱-۷-۱}	۲۴۵۹/۷	۴۰۳۰	۲۲۲۵/۵	۷۱۴/۹	۶/۶۵
A _{۱-۱-۷-۲}	۲۴۵۶/۳	۳۹۱۳/۸	۲۲۲۴/۱	۷۱۶/۲۲	۶/۴۵
A _{۱-۱-۸}	۱۷۸۰	۳۲۷۵/۸	۲۶۰۸/۷	۶۲۸/۴	۱۹/۳۵
A _{۱-۱-۹}	۱۴۰۰	۲۹۲۰	۲۲۶۹	۶۷۴/۵۸	۲۶/۲۴
A _{۱-۲}	۱۰۳۷/۱	۲۴۸۰	۱۶۷۶/۲	۸۶۷/۲۴	۳۸/۲۵
A _{۱-۲-۱}	۱۳۴۰	۳۲۸۰	۲۲۲۱/۹	۶۸۹/۸۸	۲۷/۱۹
A _{۱-۲-۱-۱}	۱۶۴۷/۹	۲۵۶۰	۲۱۴۴/۶	۷۱۵/۰۱	۲۸/۷۶
A _{۱-۲-۱-۲}	۲۲۶۵	۴۰۰۹	۳۰۰۵	۶۸۳/۰۹	۲۲/۲۶
A _{۱-۲-۱-۳}	۲۲۸۰	۳۳۲۰	۲۹۱۲/۴	۶۷۰/۳۱	۲۲/۲
A _{۱-۲-۱-۴}	۱۹۰۰	۳۲۲۰	۲۴۶۵/۳	۶۰۸/۶۱	۲۱/۹
A _{۱-۲-۲}	۱۳۷۰	۲۵۰۸/۳	۱۹۵۸/۴	۷۷۵/۵۲	۳۲/۵۳
A _{۱-۲-۲-۱}	۱۳۷۰	۳۲۰۰	۲۵۳۴/۹	۶۱۸/۲۲	۲۱/۹۴
A _{۱-۲-۲-۲}	۱۳۷۰	۲۹۳۱/۲	۲۴۲۸/۷	۶۰۳/۵۶	۲۱/۸۷
A _{۱-۲-۲-۳}	۱۳۴۰	۲۵۰۰	۲۰۰۳	۷۶۱/۰۳	۳۱/۶۳
A _{۱-۲}	۹۱۰	۲۴۷۲	۱۷۲۱/۲	۸۵۲/۶۱	۳۷/۳۴
A _۲	۵۱۵/۴	۲۱۱۲/۷	۱۱۲۵/۴	۱۰۴۶/۲۵	۴۹/۴۲
A _{۲-۱}	۶۶۳/۷	۲۵۳۰/۱	۱۷۰۳	۸۵۸/۵۳	۳۷/۷۱
A _{۲-۲}	۷۳۷	۲۱۲۰	۱۴۶۲	۹۳۶/۸۵	۴۲/۵۹
A _{۲-۳}	۵۲۵/۹	۱۴۵۱/۳	۱۰۴۶/۴	۱۰۷۱/۹۲	۵۱/۰۲
A _۳	۵۱۲/۱	۱۵۰۰	۱۰۰۹/۵	۱۰۸۳/۹۱	۵۱/۷۷
A _{۳-۱}	۹۹۵/۸	۱۸۷۱/۳	۱۳۷۵/۸	۹۶۴/۸۷	۴۴/۳۴
A _{۳-۱-۱}	۱۱۸۹/۵	۲۲۰۰	۱۶۸۴/۸	۸۶۴/۴۴	۳۸/۰۸
A _{۳-۱-۲}	۱۱۸۰	۲۲۲۹/۳	۱۷۴۹	۸۴۳/۵۸	۳۶/۷۸
A _۴	۹۰/۲	۱۴۰۰	۵۴۴/۶	۱۲۳۵/۰۱	۶۱/۱۹
A _{۴-۱}	۱۳۵/۹	۱۱۸۰	۶۵۲/۶	۱۱۹۹/۹۱	۵۹
A _{۴-۲}	۲۶۹/۹	۱۲۱۰/۸	۷۶۰/۱	۱۱۶۴/۹۷	۵۶/۸۲

که بر این اساس دقت در تهیه نقشه ها این پارامترها می توانند تاثیر به سزاپی در میزان فرسایش ویژه منطقه داشته باشد. در نتیجه لازم است نقشه همباران و ضریب حرارتی با توجه به پیوسته بودن داده های آن به صورت رستری تولید و در آنالیزهای بعدی مورد استفاده قرار گیرد.

$$W_{sp} = T \cdot H \cdot \Pi \cdot Z^{1.5}$$

معادله

W_{sp} = فرسایش ویژه بر حسب مترمکعب در کیلومترمربع در سال.

۲- تعیین عامل آب و هوا در روش EPM : در روش EPM پس از برآورد ضریب شدت فرسایش (Z) و طبقه بنده آن به صورت کیفی، می توان نسبت به تخمین فرسایش ویژه اقدام نمود. در این روش برای تهیه نقشه فرسایش ویژه از نقشه های همباران، ضریب درجه حرارتی، ضریب شدت فرسایش Z، ضریب ثابت Π استفاده می شود. همانطور که در معادله (۸) مشاهده می کنید دو پارامتر مهم در میزان WSP مربوط به عوامل هواشناسی می باشد (۲).

$$t = -0.004H + 15.99 \quad \text{معادله (۹)}$$

t = متوسط دمای سالانه (درجه سانتی گراد)

H = ارتفاع منطقه مورد مطالعه برحسب متر (که از روی نقشه DEM بدست می آید) باسطح اعتماد ۱٪ معنی دار (برای تهیه این نقشه در محیط GIS از نقشه رقومی ارتفاعی DEM استفاده شد). با توجه به معادله (۹) گردیان حرارتی (دمای میانگین) نقشه همدم (شکل ۶) حوزه آبخیز مورد مطالعه تهیه گردید. سپس با استفاده از معادله (۱۰) نقشه ضریب درجه حرارتی (شکل ۷) تهیه شد که نتیجه حاصل از آن در جدول (۲) به تفکیک زیرحوزه های آبخیز ارائه شده است.

$$T = \left(\frac{t}{10} + 0.1 \right)^{0.5} \quad \text{معادله (۱۰)}$$

t = درجه حرارت سالانه در حوزه به درجه سانتیگراد می باشد.

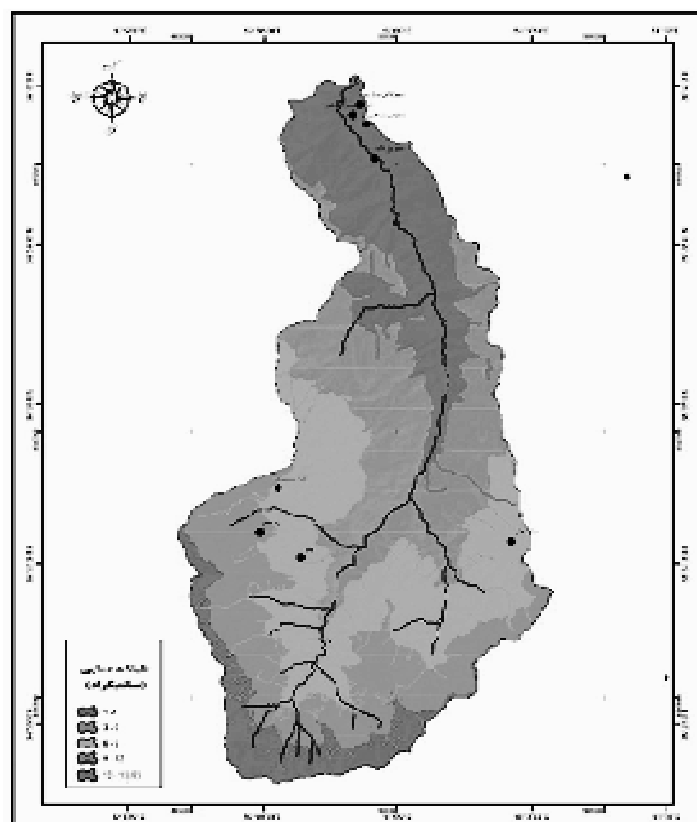
H = ارتفاع متوسط بارندگی سالیانه بر حسب میلی متر

T = ضریب درجه حرارت تحت عنوان نقشه ضریب حرارتی که جهت تهیه آن لازم است نقشه های زیر تهیه گردند.

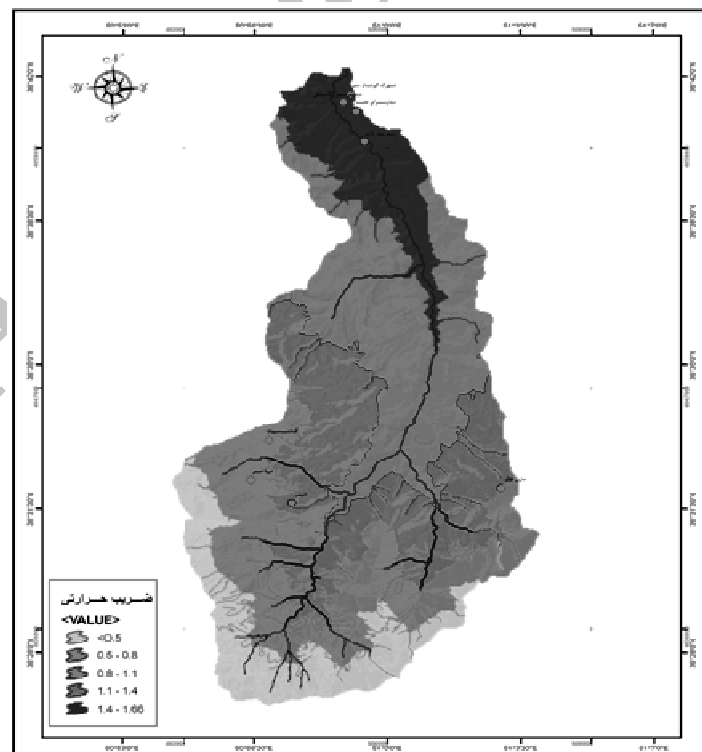
۱- تهیه نقشه همباران منطقه: نحوه تهیه این نقشه و اطلاعات مربوط به آن در روش MPSIAC آورده شد.

۲- تهیه نقشه ضریب درجه حرارت منطقه:

برای تهیه نقشه T ابتدا بایستی نقشه متوسط دمای سالیانه (t) در محیط GIS با فرمت سلولی (Raster) تهیه گردد. به جهت بررسی تغییرات دمای هوا با ارتفاع و تعیین گردیان حرارتی منطقه با استفاده از آمار ایستگاه های کورکورسر، عباس آباد، پل ذغال، گرمودبار و گلستان محله در ۵ مقطع ارتفاعی $100, 180, 300, 2000$ و 1300 متر از سطح دریا انتخاب گردیده است. با استفاده از دمای متوسط سالانه ایستگاهها، وجود ارتفاع آنها بهترین معادله خطی به شرح ذیل استخراج گردید (۱۰).



شکل ۶- میانگین دمای منطقه



شکل ۷- شاخص حرارتی منطقه

جدول ۲- اطلاعات حاصل از نقشه های پایه براساس روش EPM

زیر حوزه	متوسط دمای سالانه(سانتی گراد)	ضریب حرارتی
A ₁	۹/۷۲	۱/۰۴
A _{۱-۱}	۹/۰۳	۱/۰۰
A _{۱-۱-۱}	۸/۰۴	۰/۹۵
A _{۱-۱-۲}	۹/۳۳	۱/۰۲
A _{۱-۱-۲-۱}	۵/۸۶	۰/۸۳
A _{۱-۱-۲-۲}	۵/۹۶	۰/۸۳
A _{۱-۱-۲-۳}	۵/۳۶	۰/۸۰
A _{۱-۱-۲-۴}	۷/۱۷	۰/۹۰
A _{۱-۱-۴-۱}	۴/۱۰	۰/۷۱
A _{۱-۱-۴-۲}	۴/۴۶	۰/۷۴
A _{۱-۱-۴-۳}	۴/۶۳	۰/۷۵
A _{۱-۱-۶}	۶/۳۹	۰/۸۶
A _{۱-۱-۶-۱}	۲/۲۹	۰/۵۷
A _{۱-۱-۶-۲}	۲/۵۷	۰/۶
A _{۱-۱-۷}	۵/۷۱	۰/۸۲
A _{۱-۱-۷-۱}	۳/۰۵	۰/۶۴
A _{۱-۱-۷-۲}	۳/۰۱	۰/۶۳
A _{۱-۱-۸}	۵/۵۶	۰/۸۱
A _{۱-۱-۹}	۶/۹۱	۰/۸۹
A _{۱-۱-۹}	۹/۲۹	۱/۰۱
A _{۱-۲-۱}	۷/۱۰	۰/۹۰
A _{۱-۲-۱-۱}	۷/۴۱	۰/۹۲
A _{۱-۲-۱-۲}	۳/۹۷	۰/۷۰
A _{۱-۲-۱-۳}	۴/۳۴	۰/۷۳
A _{۱-۲-۱-۴}	۶/۱۳	۰/۸۴
A _{۱-۲-۲}	۸/۱۶	۰/۹۶
A _{۱-۲-۲-۱}	۵/۸۵	۰/۸۳
A _{۱-۲-۲-۲}	۶/۲۸	۰/۸۵
A _{۱-۲-۲}	۷/۹۸	۰/۹۵
A _{۱-۲-۲}	۹/۱۱	۱/۰۱
A _۲	۱۱/۴۹	۱/۱۲
A _{۲-۱}	۹/۱۸	۱/۰۱
A _{۲-۲}	۱۰/۱۴	۱/۰۶
A _{۲-۳}	۱۱/۸۰	۱/۱۳
A _۲	۱۱/۹۵	۱/۱۴
A _{۲-۱}	۱۰/۴۹	۰/۰۷
A _{۲-۱-۱}	۹/۲۵	۰/۰۱
A _{۲-۱-۲}	۸/۹۹	۱/۰۰
A _۲	۱۳/۸۱	۱/۲۲
A _{۲-۱}	۱۳/۳۸	۱/۲۰
A _{۲-۲}	۱۲/۹۵	۱/۱۸

رسترنی دارند که این اختلاف زیاد در این زیرحوزه ها منتج به امتیاز متفاوت در دو حالت شده است. دلیل اختلاف در این دو حالت به خاطر این است که عوامل هواشناسی از نوع داده های وابسته می باشد که بایستی با فرمت رسترنی تهیه گرددن. در غیر این صورت اگر در محاسبات از متوسط وزنی آنها در هر زیر حوزه آبخیز استفاده شود باعث ایجاد اختلاف شده و از دقت محاسبات و آنالیز نهایی کاسته می گردد.

همچنین با مشاهده جدول (۴) نیز مشخص می شود که اگر از نقشه های برداری و متوسط وزنی درجه حرارت و بارندگی استفاده شود باعث ایجاد اختلاف بارندگی در نتیجه نهایی می شود که محاسبه میزان فرسایش و رسوب ویژه را تحت تاثیر قرار می دهد.

بحث و نتیجه گیری

در اکثر مطالعات انجام شده در زمینه فرسایش و رسوب با استفاده از روش MPSIAC و EPM اکثر محققین برای محاسبه عامل Y_3 ، T و H بیشتر از مدل برداری و متوسط وزنی در هر زیر حوزه در محیط GIS استفاده می کردند. ولی با توجه به اینکه نقشه حداکثر بارندگی ۲۴ ساعته با دوره بازگشت ۲ ساله (میلیمتر) و همچنین ضریب حرارتی و نقشه همباران جزء عوامل وابسته محسوب می شود باید با فرمت سلولی تهیه و در آنالیز ها به کار برده شود که این امر باعث بالا رفتن دقت کار می شود. جدول (۳) و (۴).

همانطور که در جدول (۳) مشاهده می شود، عامل Y_3 در زیر حوزه های A₁₋₁₋₄₋₁، A₁₋₁₋₄₋₂، A₁₋₁₋₇₋₁، A₁₋₁₋₆₋₂، A₁₋₁₋₆₋₁، A₁₋₁₋₅، A₁₋₁₋₂ بیشترین اختلاف را در دو حالت برداری و

جدول ۳- مقایسه فرمت رسترنی و برداری عامل آب و هوا در روشن MPSIAC در منطقه مورد مطالعه

زیرحوزه	بارندگی(برداری)	بارندگی(رسترنی)	بارندگی ۶ ساعته با دوره بازگشت ۲ ساله		امتیاز عامل آب و هوا	
			رسترنی	برداری	برداری	رسترنی
A ₁	۸۹۹/۲۲	۹۰۲/۳۷	۴۰/۴۴	۴۰/۲۵	۸/۰۹	۸/۰۵
A ₁₋₁	۸۴۰/۸۸	۸۴۶/۸۶	۳۶/۹۸	۳۶/۶۱	۷/۴۰	۷/۳۲
A ₁₋₁₋₁	۷۶۴/۳۸	۷۶۶/۳۲	۳۱/۹۶	۳۱/۸۴	۶/۳۹	۶/۳۷
A ₁₋₁₋₂	۸۵۷/۵۴	۸۷۰/۷۱	۳۸/۴۷	۳۷/۶۵	۷/۶۹	۷/۵۳
A ₁₋₁₋₂₋₁	۶۲۰/۵۸	۶۱۷/۷۳	۲۱/۹۴	۲۱/۹۵	۴/۳۹	۴/۳۹
A ₁₋₁₋₂₋₂	۶۱۷/۵۷	۶۱۴/۴۸	۲۱/۴۰	۲۱/۹۴	۴/۲۸	۴/۳۹
A ₁₋₁₋₃	۶۳۸/۸۹	۶۳۵/۱۸	۱۸/۳۶	۲۲/۰۴	۳/۶۷	۴/۴۱
A ₁₋₁₋₄	۵۷۶/۷۴	۶۹۵/۲۸	۲۷/۵۳	۲۶/۹۴	۵/۵۱	۵/۳۹
A ₁₋₁₋₄₋₁	۶۸۴/۸۶	۶۷۸/۶۶	۱۱/۹۷	۲۲/۲۷	۲/۳۹	۴/۴۵
A ₁₋₁₋₄₋₂	۶۷۵/۲۰	۶۶۶/۱۴	۱۳/۸۱	۲۲/۲۲	۲/۷۶	۴/۴۴
A ₁₋₁₋₅	۶۶۹/۴۱	۶۶۰/۲۶	۱۴/۶۷	۲۲/۱۹	۲/۹۳	۴/۴۴
A ₁₋₁₋₆	۶۰۵/۸۷	۵۹۹/۷۰	۲۳/۵۷	۲۱/۸۸	۴/۷۱	۴/۳۸
A ₁₋₁₋₆₋₁	۷۵۱/۵۰	۷۴۱/۰۶	۲/۸۰	۲۲/۶۰	۰/۵۶	۴/۵۲
A ₁₋₁₋₆₋₂	۷۴۱/۰۹	۷۳۱/۵۰	۴/۲۱	۲۲/۵۴	۰/۸۴	۴/۵۱

A _{1-1-γ}	۶۲۹/۹۵	۶۲۳/۱۴	۲۰/۱۲	۲۲/۰۰	۴/۰۲	۴/۴۰
A _{1-1-γ-۱}	۷۲۱/۱۰	۷۱۴/۹۰	۶/۶۵	۲۲/۴۵	۱/۳۳	۴/۴۹
A _{1-1-γ-۲}	۷۲۱/۳۲	۷۱۶/۲۲	۶/۴۵	۲۲/۴۵	۱/۲۹	۴/۴۹
A _{1-1-۸}	۶۳۰/۳۵	۶۲۸/۴۰	۱۹/۳۵	۲۲/۰۰	۳/۸۷	۴/۴۰
A _{1-1-۹}	۶۷۲/۶۵	۶۷۴/۵۸	۲۶/۲۴	۲۶/۱۲	۵/۲۵	۵/۲۲
A _{۱-۷}	۸۵۳/۹۹	۸۶۷/۲۴	۳۸/۲۵	۳۷/۴۳	۷/۶۵	۷/۴۹
A _{۱-۷-۱}	۶۷۹/۶۳	۶۸۹/۸۸	۲۷/۱۹	۲۶/۵۵	۵/۴۴	۵/۳۱
A _{۱-۷-۱-۱}	۷۱۱/۱۹	۷۱۵/۰۱	۲۸/۷۶	۲۸/۵۲	۵/۵۷	۵/۷۰
A _{۱-۷-۱-۲}	۶۹۱/۰۰	۶۸۳/۰۹	۲۲/۲۶	۲۲/۳۰	۴/۴۵	۴/۴۶
A _{۱-۷-۱-۳}	۶۷۰/۰۸	۶۷۰/۳۱	۲۲/۲۰	۲۲/۲۰	۴/۴۴	۴/۴۴
A _{۱-۷-۱-۴}	۶۰۹/۹۲	۶۰۸/۶۱	۲۱/۹۰	۲۱/۹۰	۴/۳۸	۴/۳۸
A _{۱-۷-۲}	۷۶۹/۶۶	۷۷۵/۵۲	۳۲/۵۳	۳۲/۱۷	۶/۵۱	۶/۴۳
A _{۱-۷-۲-۱}	۶۲۰/۳۵	۶۱۸/۲۲	۲۱/۹۴	۲۱/۹۵	۴/۳۹	۴/۳۹
A _{۱-۷-۲-۲}	۶۰۸/۵۳	۶۰۲/۵۶	۲۱/۸۷	۲۱/۹۰	۴/۳۷	۴/۳۸
A _{۱-۷-۳}	۷۶۰/۴۰	۷۶۱/۰۳	۳۱/۶۳	۳۱/۵۹	۶/۳۳	۶/۳۲
A _{۱-۷}	۸۴۰/۷۵	۸۵۲/۶۱	۳۷/۳۴	۳۶/۶۰	۷/۴۷	۷/۳۲
A _۷	۱۰۴۵/۵۲	۱۰۴۶/۲۵	۴۹/۴۲	۴۹/۳۷	۹/۸۸	۹/۸۷
A _{۷-۱}	۸۵۳/۵۲	۸۵۸/۵۳	۳۷/۷۱	۳۷/۴۰	۷/۵۴	۷/۴۸
A _{۷-۲}	۹۳۶/۰۶	۹۳۶/۸۵	۴۲/۵۹	۴۲/۵۵	۸/۵۲	۸/۵۱
A _{۷-۳}	۱۰۶۸/۵۲	۱۰۷۱/۹۲	۵۱/۰۲	۵۰/۸۱	۱۰/۲۰	۱۰/۱۶
A _۷	۱۰۸۲/۰۰	۱۰۸۳/۹۱	۵۱/۷۷	۵۱/۶۵	۱۰/۳۵	۱۰/۳۳
A _{۷-۱}	۹۵۶/۲۲	۹۶۴/۸۷	۴۴/۳۴	۴۳/۸۰	۸/۸۷	۸/۷۶
A _{۷-۱-۱}	۸۵۲/۷۷	۸۶۴/۴۴	۳۸/۰۸	۳۷/۳۵	۷/۶۲	۷/۴۷
A _{۷-۱-۲}	۸۲۱/۳۷	۸۴۳/۵۸	۳۶/۷۸	۳۵/۳۹	۷/۳۶	۷/۰۸
A _۴	۱۲۲۱/۲۹	۱۲۳۵/۰۱	۶۱/۱۹	۶۰/۹۶	۱۲/۲۴	۱۲/۱۹
A _{۴-۱}	۱۱۹۱/۶۶	۱۱۹۹/۹۱	۵۹/۰۰	۵۸/۴۹	۱۱/۸۰	۱۱/۷۰
A _{۴-۲}	۱۱۵۹/۶۶	۱۱۶۴/۹۷	۵۶/۸۲	۵۶/۴۹	۱۱/۳۶	۱۱/۳۰

جدول ۴- مقایسه فرمت رستری و برداری در تهییه نقشه های مربوط به عامل هواشناسی در روش EPM

ضریب حرارتی (برداری)	ضریب حرارتی (رستری)	درجه حرارت (رستری)	درجه حرارت (وکتوری)	درجه حرارت (وکتوری)	زیر حوزه
۱/۰۳	۱/۰۴	۹/۶۸	۹/۷۲	A _۱	
۱/۰۰	۱/۰۰	۸/۹۶	۹/۰۳	A _{۱-۱}	
۰/۹۵	۰/۹۵	۸/۰۲	۸/۰۴	A _{۱-۱-۱}	
۱/۰۱	۱/۰۲	۹/۱۷	۹/۲۳	A _{۱-۱-۲}	
۰/۸۲	۰/۸۳	۵/۷۸	۵/۸۶	A _{۱-۱-۲-۱}	
۰/۸۳	۰/۸۳	۵/۸۷	۵/۹۶	A _{۱-۱-۲-۲}	
۰/۷۹	۰/۸۰	۵/۲۵	۵/۲۶	A _{۱-۱-۳}	
۰/۹۰	۰/۹۰	۷/۰۵	۷/۱۷	A _{۱-۱-۴}	
۰/۷۰	۰/۷۱	۳/۹۲	۴/۱۰	A _{۱-۱-۴-۱}	
۰/۷۲	۰/۷۴	۴/۲۰	۴/۴۶	A _{۱-۱-۴-۲}	
۰/۷۳	۰/۷۵	۴/۳۷	۴/۶۳	A _{۱-۱-۵}	
۰/۸۵	۰/۸۶	۶/۲۱	۶/۳۹	A _{۱-۱-۶}	
۰/۵۵	۰/۵۷	۱/۹۹	۲/۲۹	A _{۱-۱-۶-۱}	

A ₁₋₁₋₆₋₂	۲/۵۷	۲/۲۹	۰/۶۰	۰/۵۷
A _{1-1-۷}	۵/۷۱	۵/۵۱	۰/۸۲	۰/۸۱
A _{1-1-۷-۱}	۳/۰۵	۲/۸۷	۰/۶۴	۰/۶۲
A _{1-1-۷-۲}	۳/۰۱	۲/۸۶	۰/۶۳	۰/۶۲
A _{1-1-۸}	۵/۵۶	۵/۵۰	۰/۸۱	۰/۸۱
A _{1-1-۹}	۶/۹۱	۶/۸۹	۰/۸۹	۰/۸۹
A _{۱-۲}	۹/۲۹	۹/۱۲	۱/۰۱	۱/۰۱
A _{۱-۲-۱}	۷/۱۰	۶/۹۸	۰/۹۰	۰/۸۹
A _{۱-۲-۱-۱}	۷/۴۱	۷/۳۶	۰/۹۲	۰/۹۱
A _{۱-۲-۱-۲}	۳/۹۷	۳/۷۴	۰/۷۰	۰/۸۹
A _{۱-۲-۱-۳}	۴/۳۴	۴/۳۳	۰/۷۳	۰/۷۳
A _{۱-۲-۱-۴}	۶/۱۳	۶/۰۹	۰/۸۴	۰/۸۴
A _{۱-۲-۲}	۸/۱۶	۸/۰۸	۰/۹۶	۰/۹۵
A _{۱-۲-۲-۱}	۵/۸۵	۵/۷۹	۰/۸۳	۰/۸۲
A _{۱-۲-۲-۲}	۶/۲۸	۶/۱۳	۰/۸۵	۰/۸۴
A _{۱-۲-۲-۳}	۷/۹۸	۷/۹۷	۰/۹۵	۰/۹۵
A _{۱-۳}	۹/۱۱	۸/۹۶	۱/۰۱	۱/۰۰
A _۲	۱۱/۴۹	۱۱/۴۸	۱/۱۲	۱/۱۲
A _{۲-۱}	۹/۱۸	۹/۱۲	۱/۰۱	۱/۰۱
A _{۲-۲}	۱۰/۱۴	۱۰/۱۳	۱/۰۶	۱/۰۶
A _{۲-۳}	۱۱/۸۰	۱۱/۷۶	۱/۱۳	۱/۱۲
A _۳	۱۱/۹۵	۱۱/۹۳	۱/۱۴	۱/۱۴
A _{۳-۱}	۱۰/۴۹	۱۰/۳۸	۱/۰۷	۱/۰۷
A _{۳-۱-۱}	۹/۲۵	۹/۱۱	۱/۰۱	۱/۰۱
A _{۳-۱-۲}	۸/۹۹	۸/۷۲	۱/۰۰	۰/۹۹
A _۴	۱۳/۸۱	۱۳/۷۷	۱/۲۲	۱/۲۲
A _{۴-۱}	۱۳/۳۸	۱۳/۲۸	۰/۲۰	۱/۱۹
A _{۴-۲}	۱۲/۹۵	۱۲/۸۸	۱/۱۸	۱/۱۸

References:

- 1-AIM Korea team Hui Cheul JUNG (KEI Seong Woo JEON (KEI) Dong Kun LEE) SNU Development of soil water erosion module using GIS and RUSLE, (2004).
- 2-Behnia, H., 1380. Principles of Watershed Management Engineering: Ferdowsi University Of Mashhad.
- 3-Burrough, P.A., 1996. Principles of Geographic Information Systems for land resources assessment. Clarendon Press. Oxford. 193 p.
- 4-Gholami, sh., 1379. Geological & Geomorfology Report mountain Basin. National Conference of Erosion &Sediment.Ferdowsi University Of Mashhad:185-204
- 5-Hasanzadeh, R., E. Bidkori, 1387. Geographic Information Systems- Software Training Basics: University Of Mashhad.296 p.
- 6-Johnson, C.W., K.A. Gebhardt, 1982. Predicting sediment yields from sage brush rangeland in,proceeding of the workshop on estimating erosion and sediment yield on rangeland .Tucson Aritong ,March 1972.V.5.Department of agriculture ARM-W-26.P.145-156.

- 7-Lai, R., W.H. Bium, C. Valentie, and B.A. Stewart, 1998. Methods for assessment of soil degradation.Advances in soil Sciences.558PP42).
- 8-Mahdavi, M., 1386. Applied Hydrology(vol.2): Tehran University Publication. 437 p.
- 9-Makhdoom, M., 1380. Environmental Assessment And Planning With Geographic Information: Tehran University Publication.304 p.
- 10-Midar Harijani,F.1390. Estimation & Comparison of Water Erosion Sedimentation Potential By MPSIAC & EPM Models With Using GIS (Case Study: Azad Rood Watershed of Nashta Rood).
- 11-Niknami, D., 2001. Deposition Estimates to Help SPANS-GIS.journal pajuhesh & sazandegi: No 51.
- 12-Pimental, D., C. Harvey, P. Resosudarmo, K. Sinclair, D. Kurz, M. McNair, S. Crist, L. Shpritz, R. Saffouri, and R. Blair, 1995. Environmental costs of soil erosion and conservation benefits.Science.267:1117-1123.
- 13-Refahi, H., 1375. Soil Erosion By Water & Conservation: Tehran University Publication. 551 p.
- 14-UNEP, 1999. Human Development Report of the Islamic Republic of IRAN.Chapter 8,PP:109- 121